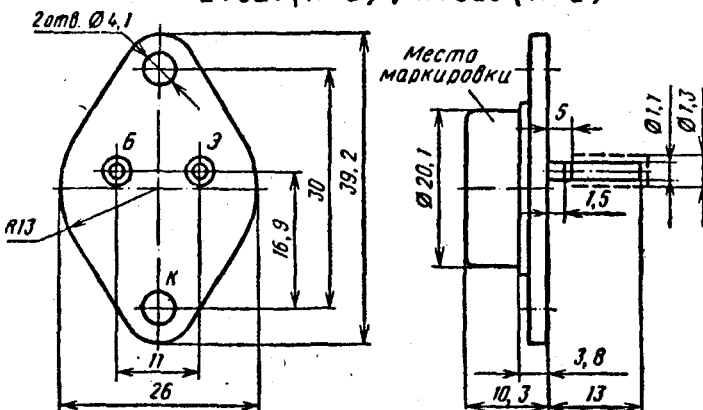


2T826 (А, Б, В), KT826 (А, Б, В)

Транзисторы кремниевые мезапланарные структуры *n-p-n* переключательные. Предназначены для применения в преобразователях постоянного напряжения, полковольтных стабилизаторах, переключающих устройствах. Корпус металлический со стеклянными изоляторами и жесткими выводами.

Масса транзистора не более 20 г.

2T826 (А-В), KT826 (А-В)



Электрические параметры

Статический коэффициент передачи в схеме ОЭ при $U_{K\beta}=10$ В, $I_K=0.1$ А:

$T_\pi=+25^\circ\text{C}$	10...120
$T_\pi=T_{\pi,\max}$	5...300
$T_\pi=-60^\circ\text{C}$	5...120

Модуль коэффициента передачи тока на высокой частоте при $U_{K\beta}=15$ В, $I_K=0.1$ А, $f=1$ МГц, не менее:

2T826B, KT826B	6
2T826A, 2T826B; KT826A, KT826B	4

Границное напряжение при $I_K=100$ мА, $L=40$ мГц, не менее:

2T826A, 2T826B, KT826A, KT826B	500 В
2T826B, KT826B	600 В

Напряжение насыщения коллектор — эмиттер при $I_K=0.5$ А, $I_B=0.2$ А, не более

Напряжение насыщения коллектор — эмиттер при $I_K=0.5$ А, $I_B=0.2$ А, не более	2.5 В
Напряжение насыщения база — эмиттер при $I_K=0.5$ А, $I_B=0.2$ А, не более	2 В

Время спада при $U_{K\beta}=500$ В, $U_{B\beta}\approx 5$ В, $I_K=0.5$ А, $I_B=0.2$ А, не более:

2T826A, KT826A	1.5 мкс
2T826B, KT826B	0.7 мкс

Обратный ток коллектор — эмиттер при $R_{\phi\beta}=10$ Ом, не более:

$T_\pi=+25^\circ\text{C}$, $U_{K\beta}=700$ В	2 мА
$T_\pi=T_{\pi,\max}$, $U_{K\beta}=300$ В	5 мА
$T_\pi=-60^\circ\text{C}$, $U_{K\beta}=500$ В	4 мА
	3 мА

Обратный ток эмиттера при $U_{B\beta}=5$ В, не более

Емкость коллекторного перехода при $U_{K\beta}=100$ В, $f=1$ МГц, не более

типовое значение	25* пФ
Емкость эмиттерного перехода при $U_{B\beta}=5$ В, $f=1$ МГц, не более	20* пФ

Емкость эмиттерного перехода при $U_{B\beta}=5$ В, $f=1$ МГц, не более	250* пФ
--	---------

Предельные эксплуатационные данные

Постоянное напряжение коллектор — эмиттер при $R_{\phi\beta}\leqslant 10$ Ом, $T_\pi=-60\dots+75^\circ\text{C}$

700 В

Импульсное напряжение коллектор — эмиттер при $R_{\phi\beta}\leqslant 10$ Ом, $t_u\leqslant 20$ мс, $Q\geqslant 50$:

$t_\phi\geqslant 0.2$ мкс (скорость нарастания фронта не более 3.5 В/нс), $T_\pi=-60\dots+75^\circ\text{C}$	700 В
---	-------

$t_{\phi} \geq 1,5$ мкс (скорость нарастания фронта не более 0,66 В/нс), $T_a = +25^\circ C$	1000 В
Постоянный и импульсный ток коллектора	1 А
Постоянный и импульсный ток базы	0,75 А
Постоянная рассеиваемая мощность коллектора ¹ при $T_a = -60...+50^\circ C$	15 Вт
Температура $p-n$ перехода	150° C
Температура окружающей среды: 2T826A—2T826B	-60° C.. $T_a = +125^\circ C$
KT826A—KT826B	-60° C.. $T_a = +100^\circ C$

¹ При $T_a > +50^\circ C$ $P_{K, \text{макс}}$ рассчитывается по формуле
 $P_{K, \text{макс}}, \text{Вт} = (150 - T_a) / R_{T(n-a)}$,
где $R_{T(n-a)}$ — определяется из области максимальных режимов.

При $T_a > +75^\circ C$ постоянное и импульсное напряжение коллектор — эмиттер снижаются линейно до 300 В.

Пайка выводов транзисторов допускается не ближе 5 мм от основания корпуса при температуре не более $+250^\circ C$ в течение не более 3 с.

При конструировании аппаратуры следует учитывать возможность самовозбуждения транзисторов за счет паразитных связей.



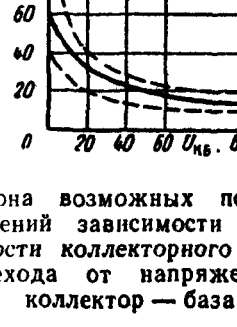
Зона возможных положений зависимостей тока коллектора от напряжения база — эмиттер



Зона возможных положений зависимостей граничной частоты от тока коллектора



Зона возможных положений зависимостей емкости эмиттерного перехода от напряжения база — эмиттер



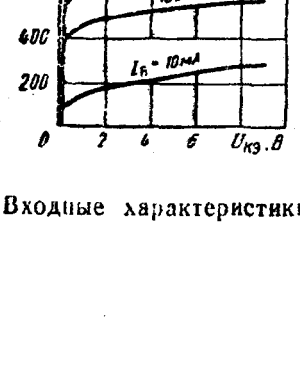
Зона возможных положений зависимостей емкости коллекторного перехода от напряжения коллектор — база



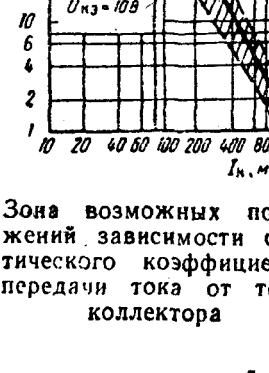
Зависимость максимально допустимого постоянного напряжения коллектор — эмиттер от со- противления база — эмиттер



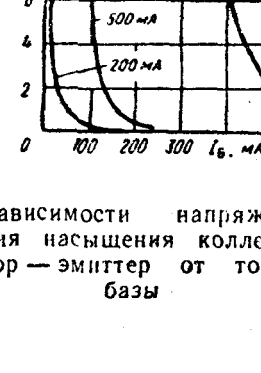
Входные характеристики



Входные характеристики



Зона возможных положений зависимости статического коэффициента передачи тока от тока коллектора



Зависимости напряжения насыщения коллектор — эмиттер от тока базы



Зона возможных положений зависимости напряжения насыщения коллектор — эмиттер от отношения тока коллектора и базы

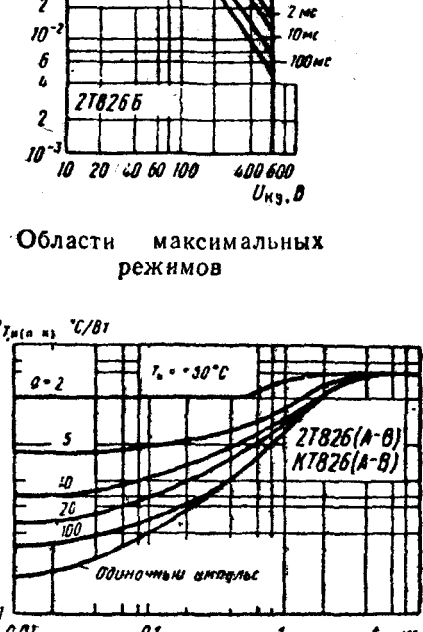


Области максимальных режимов



Области максимальных режимов

Зависимости импульсного теплового сопротивления перехода — корпус от длительности импульса



Области максимальных режимов